

МЕТОДИКА РАСЧЕТА БАШЕННЫХ ТРУБ-ГРАДИРЕН И РЕЗУЛЬТАТЫ НАТУРНЫХ ИСПЫТАНИЙ МОДЕРНИЗИРОВАННЫХ ГРАДИРЕН В ПРОИЗВОДСТВЕ

Результаты значительного количества экспериментальных исследований [1–7] и натурных испытаний доказана высокая эффективность подачи в башенную градирню выше уровня контакта охлаждающего воздуха с водой дымовых газов от паровых котлов и газотурбинных установок (ГТУ). В результате взаимодействия дымовых газов с паровоздушным потоком, выбрасываемым из градирни, происходит повышение температуры последнего, что приводит к увеличению высоты выбрасываемого факела. Это, в свою очередь, способствует интенсификации тепломассообменных процессов внутри градирни, увеличению дальности факела и усилению его раздробления окружающим воздухом до контакта с поверхностью земли. Исследованиями на физических моделях различных способов подачи дымовых газов в градирню, показано, что наиболее эффективной является предложенная автором подача дымовых газов, через установленную на горловине градирни кольцевую щель с тангенциальным вводом, обеспечивающим закрутку поступающего потока газов. Такие конструктивные решения оголовка градирни рекомендованы для внедрения.

Ниже приводятся разработанная на основе результатов выполненных автором исследований процессов тепломассообмена и аэродинамики в башенных трубах-градирнях методика теплоаэродинамического расчета башенных градирен и результаты внедрения модернизированных градирен в производство.

1. Методика теплоаэродинамического расчета испарительной градирни башенного типа

1.1. Исходные данные должны быть:

- параметры наружного воздуха: t_u , i_u , d_u ;
- габаритные размеры градирни, а также площади входных отверстий (F_{np}), оросителей (F_{op}), выходного сечения (F_e), а также расстояние по вертикали между осью входных отверстий и горловиной градирни (H_o);

- плотность орошения (g , кг/(м²·с));
- приведенный к площади оросителей суммарный коэффициент местного сопротивления башни (ζ_{Σ});
- требуемая глубина охлаждения воды (δt_w), а также начальная (t_{wH}) и конечная (t_{wK}) ее температуры;
- массовый расход (Gr) и начальная температура газов (t_r), подаваемых от котлоагрегата или газотурбинной установки (ГТУ).

1.2. Определяем:

- расход циркуляционной воды

$$G_w = g \cdot F_{op}, \text{ кг/с; } \quad (1)$$

– количество испаряющейся воды в зависимости от температуры наружного воздуха

$$G_{ исп_в } = K \cdot G_w \cdot \delta t_w, \text{ кг/с; } \quad (2)$$

– явные тепловыделения, как результат тепломассообмена воздуха с водой

$$Q_o = G_w \cdot c_w \cdot \delta t_w - G_{ исп_в } \cdot i_{Pi}, \text{ Вт} \quad (3)$$

при этом трансмиссионными теплопотерями через ограждение градирни можно пренебречь:

- эквивалентную площадь градирни

$$F_3 = F_{op} / \sqrt{\zeta_{\Sigma}}, \text{ м}^2; \quad (4)$$

- линейную характеристику

$$K_l = (F_3 \cdot H_o^{1/2})^{2/5}, \text{ м.} \quad (5)$$

1.3. Вычисляем определяющие критерии

$$Gr_Q = 1,7 \cdot 10^{23} \cdot Q_o \cdot K_l^2 \cdot T_u^{-5,4}; \quad (6)$$

$$Ga = 3,29 \cdot 10^{19} \cdot K_l^3 \cdot T_u^{-3,6}. \quad (7)$$

1.4. Находим значения безразмерных массового расхода воздуха и избыточной температуры

$$Re_G = 1,175 \cdot Gr_Q^{1/3}; \quad (8)$$

$$Gu = 0,855 \cdot Gr_Q^{2/3} / Ga. \quad (9)$$

1.5. Определяем массовый расход и избыточную температуру воздуха на выходе из градирни

$$G_o = 1,93 \cdot 10^{-7} \cdot \text{Re}_G \cdot K_l \cdot T_h^{0,8}; \quad (10)$$

$$\Delta t_o = G_o \cdot T_h. \quad (11)$$

1.6. Строим процесс изменения состояния воздуха на I-d диаграмме и по конечному и начальному его влагосодержаниям уточняют количество испарившейся воды

$$G'_{исп_в} = G_o \cdot (d_k - d_h) \cdot 10^{-3}, \text{ кг/с}, \quad (12)$$

где: d_h , d_k – соответственно начальное и конечное влагосодержание воздуха, г/кг.

1.7. Если $G'_{исп_в}$ не совпадает с $G_{исп_в}$, то Q_o вычисляем снова, подставив в формулу $G'_{исп_в}$ и расчеты повторяем.

1.8. При подаче высокотемпературных газов ГТУ в башню-градирню определяем количество вносимой ими теплоты:

$$-t_0 = t_h + \Delta t_0, \text{ }^{\circ}\text{C}; \quad (13)$$

$$-t_{cm} = \frac{G_0 \cdot c_0 \cdot t_0 + G_{\Gamma} \cdot c_{\Gamma} \cdot t_{\Gamma}}{(G_0 + G_{\Gamma}) \cdot c_{cm}}, \text{ }^{\circ}\text{C}; \quad (14)$$

$$-Q_{\Gamma} = G_{\Gamma} \cdot c_{\Gamma} \cdot (t_{\Gamma} - t_{cm}), \text{ Вт}, \quad (15)$$

где: c_o , c_{Γ} , c_{cm} – удельные теплоемкости соответственно воздуха, газов и их смеси, Дж/(кг·К).

1.9. Представляем Q'_o как $Q_o + Q_{\Gamma}$ и расчеты выполняют снова.

1.10. Уравнение для определения высоты факела по оси

$$\Delta h = 2,8 \cdot 10^{-3} \cdot \left(\frac{Gr_Q \cdot K_l}{Ga} \right)^{1/3} \cdot T_H^{0,6} \cdot x^{2/3} / v_b^2. \quad (16)$$

Подставив в него (5), (6) и (7), получим

$$\Delta h = 5 \cdot 10^{-2} \cdot \frac{Q_o^{1/3} \cdot x^{2/3}}{v_b^2}. \quad (17)$$

Максимальная высота подъема факела над устьем градирни

$$\Delta h_{\max} = 9,55 \cdot 10^{-10} \cdot \frac{Gr_Q^{1/3} \cdot K_t \cdot T_o \cdot T_u^{0.8}}{v_B \cdot R_o} \left(2,5 + 27,65 \frac{Gr_Q^{2/3} \cdot R_o}{Ga \cdot v_B^2} \right) \quad (18)$$

или

$$\Delta h_{\max} = 1,68 \cdot 10^{-2} \cdot \frac{(Q_o \cdot F_3^2 \cdot H_o)^{1/3}}{v_B \cdot R_o} \cdot \frac{T_o}{T_u} \cdot \left(2,5 + 2,58 \cdot 10^{-3} \cdot \frac{R_o}{v_B^2} \cdot \left(\frac{(Q'_o)^2}{F_3^2 \cdot H_o} \right)^{1/3} \right). \quad (19)$$

2. Внедрение и натурные испытания модернизированных градирен

Разработанные конструктивные решения и методика теплоаэродинамического расчета испарительных градирен башенного типа приняты в практику проектирования ведущих институтов теплоэнергопроект Украины (Киевского, Харьковского, Донецкого и т. д.).

Пилотный образец модернизации градирни внедрен на Киевской ТЭЦ 6. С целью проверки принятой в работе методики исследований распространения выбросного факела из градирни были выполнены натурные испытания на градирне до ее модернизации и после осуществления подачи в нее дымовых газов через расположенную у горловины кольцевую щель с тангенциальным вводом, для закрутки потока. Некоторые результаты натурных испытаний приведены на рис. 1–4. Для удобства сравнения на этих же рисунках приведены результаты экспериментальных исследований методом физического моделирования в аэrodинамической трубе. Приведенные результаты указывают на вполне удовлетворительное для таких сложных многофакторных процессов совпадение экспериментальных и натурных данных (разница до 15%), причем для модернизированной градирни наблюдается еще более высокая сходимость результатов, что по-нашему мнению, служит дополнительным подтверждением повышения устойчивости выбросного факела градирни к действию ветра при создании на его начальном участке закрученной "оболочки" из дымовых газов. Таким образом, данные натурных испытаний по производительности и характеристикам градирни, с точностью до 15% совпадают с результатами исследований. Увеличение теплового коэффициента полезного действия градирни составляет 13,3–15,6%. Максимальная концентрация NO_x в приземном слое не превышает ПДК.

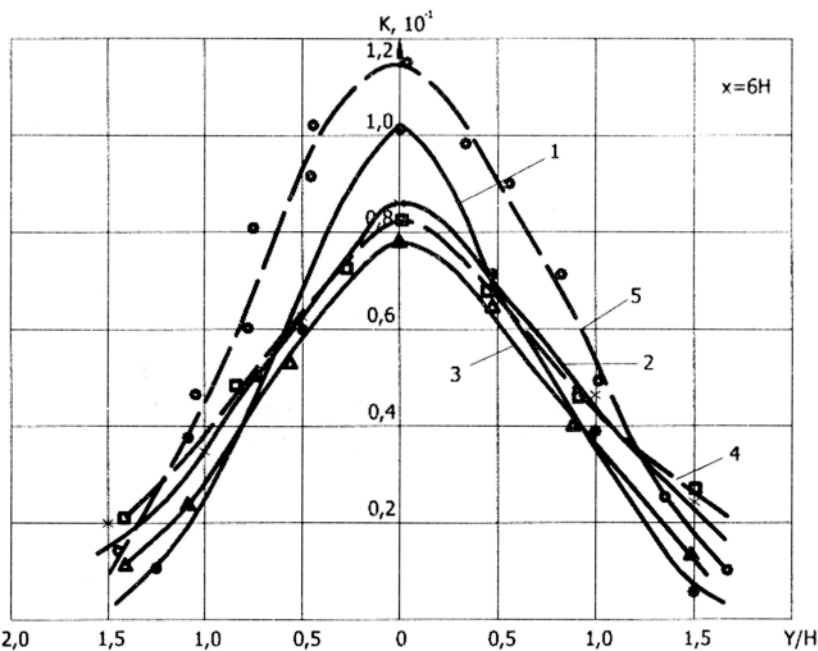


Рис. 1. Поперечные распределения безразмерных приземных величин K для выбросного факела градирни в сечении $X = 6H$. Скорость выбросного факела на выходе из градирни $w = 6 \text{ м/с}$, скорость ветра $u = 6 \text{ м/с}$

$$\left(\frac{w}{u} = 1 \right);$$

- 1 – без факельного выброса дымовых газов (эксперимент);
- 2 – скорость факельного выброса дымовых газов $w_o = 15 \text{ м/с}$ (эксперимент);
- 3 – скорость закрученного факельного выброса из щели с тангенциальным вводом дымовых газов $w_o = 20 \text{ м/с}$ (эксперимент);
- 4 – скорость закрученного факельного выброса из щели с тангенциальным вводом дымовых газов $w_o = 20 \text{ м/с}$ (натурные испытания градирни после модернизации);
- 5 – без факельного выброса дымовых газов (натурные испытания до модернизации градирни)

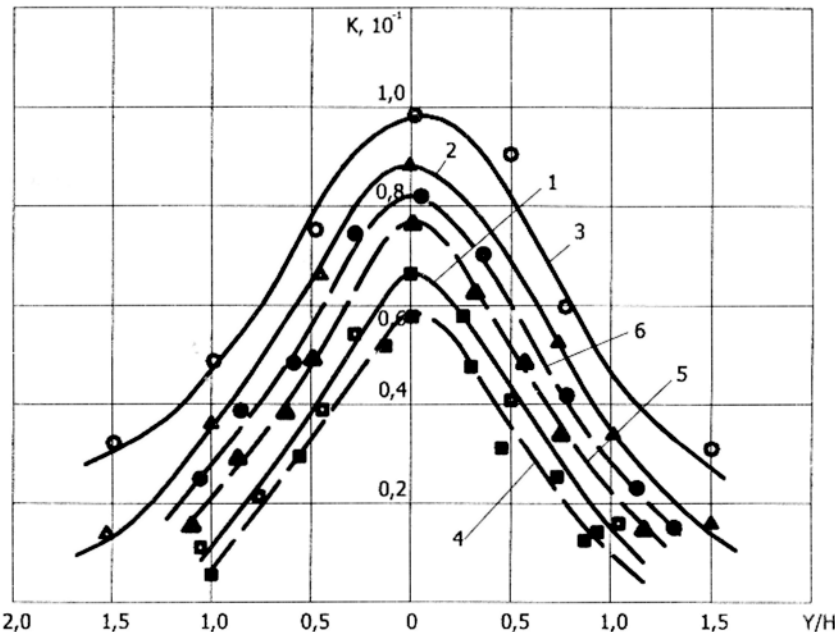


Рис. 2. Поперечные распределения безразмерных приземных величин K в различных сечениях потока выбросного факела из градирни при скорости выброса парогазовой смеси из градирни $w = 6$ м/с и скорости ветра $u = 6$ м/с ($\frac{w}{u} = 1$). Скорость закрученного факельного выброса из щели с тангенциальным вводом дымовых газов $w_o = 20$ м/с:

- 1 – в сечении $X = 4H$ (эксперимент);
- 2 – в сечении $X = 6H$ (эксперимент);
- 3 – в сечении $X = 9H$ (эксперимент);
- 4 – в сечении $X = 4H$ (натурные испытания после модернизации градирни);
- 5 – в сечении $X = 6H$ (натурные испытания после модернизации градирни);
- 6 – в сечении $X = 9H$ (натурные испытания после модернизации градирни).

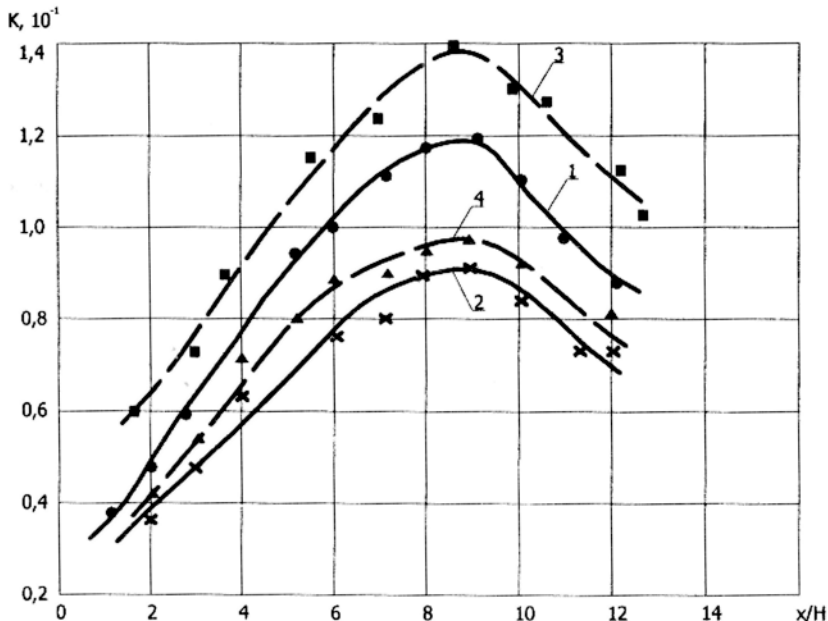


Рис. 3. Распределение безразмерных приземных величин К по потоку выбросного факела из градирни при скорости выброса паровоздушной смеси из градирни $w = 6 \text{ м/с}$ и скорости ветра $u = 6 \text{ м/с}$ $\left(\frac{w}{u} = 1\right)$:

1 – без факельного выброса дымовых газов в градирню (эксперимент);

2 – скорость закрученного факельного выброса из щели с тангенциальным вводом дымовых газов $w_o = 20 \text{ м/с}$ (эксперимент);

3 – без факельного выброса дымовых газов в градирню (натурные исследования на градирне до модернизации);

4 – скорость закрученного факельного выброса из щели с тангенциальным вводом дымовых газов $w_o = 20 \text{ м/с}$ (натурные исследования на градирне после модернизации)

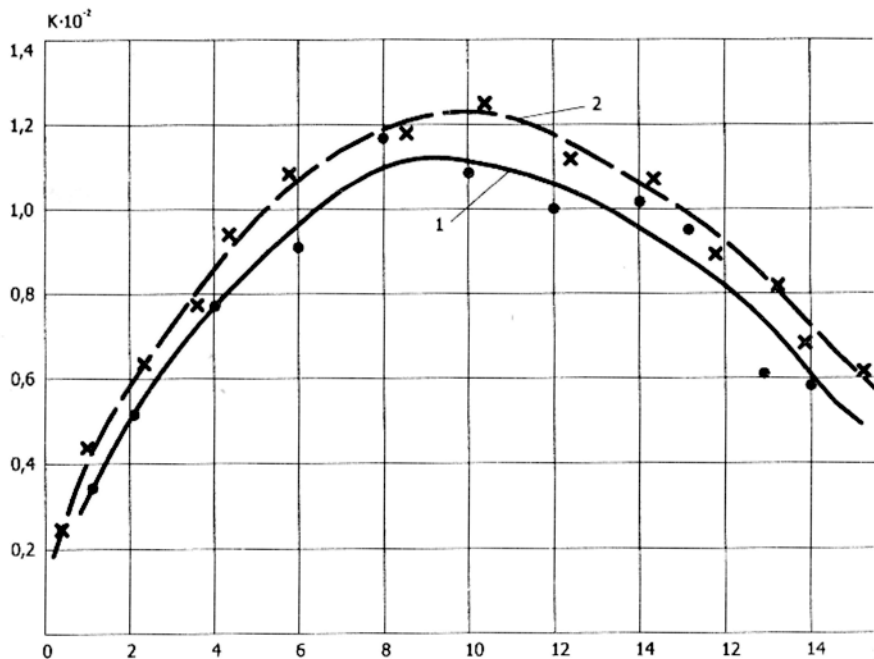


Рис. 4. Распределение безразмерных приземных величин К для NO_x по потоку для закрученного факельного выброса из щели с тангенциальным вводом дымовых газов $w_o = 20 \text{ м/с}$, скорость выброса паровоздушной смеси из градирни $w = 6 \text{ м/с}$, скорость ветра $u = 6 \text{ м/с}$, $\frac{w}{u} = 1$:
1 – эксперимент; 2 – натурные испытания градирни после модернизации

Выводы

1. На основании обработки данных экспериментальных исследований разработана приближенная методика теплоаэродинамического расчета испарительных башенных градирен, в том числе и с подачей в них отработанных газов от ГТУ (паровых котлов).

2. Полученные зависимости для определения расхода воздуха в градирне и избыточной его температуры на выходе из нее хорошо согласуются с результатами экспериментальных исследований во всем диапазоне их проведения, как при отсутствии подачи в градирню отработанных дымовых газов, так и при различных их количествах и способов подачи.

3. Разработанные конструктивные решения оголовка градирен и методика теплоаэродинамического расчета этих градирен приняты ведущими проектными институтами "Теплоэнергопроект" Украины.

4. Опытный образец модернизированной градирни внедрен на Киевской ТЭЦ-6.

5. Результаты натурных испытаний с точностью до 15% совпадают с данными экспериментальных исследований и подтверждают высокую техническую и экономическую эффективность предложенных методов и устройств организации воздухообмена для модернизации башенных градирен.

Использованная литература

1. Leidinger B., Natusck K., Sholl G. (Saarbergwerke A.G.) Rouchgasav leitun ijber kühlürme (Удаление дымовых газов через градирню) // Bremst-Werme-Kraft. – 1885. – 37. – № 10. – р.р. 373–379.
2. Angres Otried, Bush Sieter, Gabhard Georg, Orther Georg. Rauchgasableitung über Naturzugkühlürme (Отвод дымовых газов в атмосферу через башенные градирни) // Energie . 1988. – 40 – № 7. – р. 44–50.
3. Holter Heins, Igelbücher Heiurich, Gresch Heinrich, Dewert Heribert. Vorzichtung zur Einleitung Von gawaschenen Komchgasen in einen Kühlürme (Устройство для ввода очищенных газов в градирню). – Заявка № 3433707 от 14.04.84.
4. Holter Heins, Igelbücher Heiurich, Gresch Heinrich, Dewert Heribert. Einleitrohre in Kühlürmen (Трубы для подачи очищенных дымовых газов в градирни). Заявка ФРГ № 3437267 от 11.10.84.
5. Iortryk Sigurd, (Saarbergwerke A. G.) Anordaung zur Einlutung gereinigter vortrageweise habgereinigter Rauchgase in den KühlLuftstrom lines KühlTurmes. (Устройство для ввода дымовых газов в градирни (Заявка ФРГ № 3509542 от 16.03.85).
6. Дымовая труба-градирня. – А. С. 1451514, МКИ Е04 Н 12/28. Жидкович О. В., Зельцерман Е. А., Барышев А. И., Лашковский А. И. – опубликовано 1988; БИ № 4. – С. 113.
7. Дымовая труба-градирня. – А. С. 1451514, МКИ Е04 Н 12/28. Жидкович О. В., Зельцерман Е. А., Барышев А. И., Лашковский А. И. – опубликовано 1988; БИ № 47. – С. 143.